# МИНЕСТЕРСТВО ОБРАЗОВАНИЯ РЕСПУБЛИКИ БЕЛАРУСЬ БЕЛОРУССКИЙ ГОСУДАРСТВЕННЫЙ УНИВЕРСИТЕТ ФАКУЛЬТЕТ ПРИКЛАДНОЙ МАТЕМАТИКИ И ИНФОРМАТИКИ КАФЕДРА МАТЕМАТИЧЕСКОГО МОДЕЛИРОВАНИЯ И АНАЛИЗА ДАННЫХ

### Румянцев Андрей Кириллович

## "Робастные оценки параметров регрессии при наличии группирования выборки"

Курсовая работа

Допущен к защите
«\_\_\_» \_\_\_\_ 2017 г
Агеева Елена Сергеевна

Научный руководитель: Агеева Елена Сергеевна

Минск, 2017

### Содержание

| 1        | Введение  | 2  |
|----------|---|----|
| <b>2</b> | Модель функции регрессии с аномальными наблюдениями и оценки    |    |
|          | ее параметров   | 3  |
|          |   | 3  |
|          | 2.2 М-оценки  |    |
|          | 2.2.1 Способы выбора функции для решения экстремальной задачи в |    |
|          | М-оценках   | 4  |
| 3        | Моделирование функции регрессии с аномальными наблюдениями      | 5  |
| 4        | Поиск breakdown point у МНК и М-оценок                          | 6  |
|          | 4.1 Результаты программы  |    |
| 5        | Построение оценки параметров регресии с помощью группирования   |    |
|          | выборки   | 8  |
|          | 5.1 Построение функции правдоподобия                            |    |
|          | 5.2 Метод дихотомии   | 6  |
| Cı       | писок Литературы  | 10 |

### 1 Введение

Существует несколько подходов для оценки параметров регрессии, но далеко не все устойчивы к возникновениям аномальных наблюдений. В реальной жизни аномальные наблюдения возникают постоянно, поэтому большинство методов просто неприменимо. В прошлом веке в работах Хьюбера была заложена теория робастного оценивания. Были предложены следующие робастные оценки[1]:

- М-Оценки
- R-Оценки
- L-Оценки

М-оценки — некоторое подобие оценок максимального правдоподобия (ММП-оценки - частный случай), L-оценки строятся на основе линейных комбинаций порядковых статистик, R-оценки — на основе ранговых статистик. В данном курсовом проекте я буду моделировать функцию регрессии с аномальными наблюдениями, анализировать точность методов и находить для разных методов так называемый "breakdown point"— процент аномальных наблюдений, при котором увеличение количества наблюдений не повысит точность методов.

### 2 Модель функции регрессии с аномальными наблюдениями и оценки ее параметров

Введем линейную регрессию:

$$y_{i} = \beta_{0} + \beta_{1}x_{i1} + \beta_{2}x_{i2} + \dots + \beta_{n}x_{in} + \epsilon_{i}, i = \overline{1, N}$$

$$y_{i} = f(x_{i}, \beta) + \epsilon_{i},$$

$$f(x_{i}, \beta) = \beta_{0} + \beta_{1}x_{i1} + \beta_{2}x_{i2} + \dots + \beta_{n}x_{in}$$
(1)

Или, в векторной форме:

$$y_{i} = \begin{pmatrix} \beta_{0} \\ \beta_{1} \\ \dots \\ \beta_{n} \end{pmatrix} \times \begin{pmatrix} 1 \\ x_{i1} \\ \dots \\ x_{in} \end{pmatrix}^{T} + \epsilon_{i}, \tag{2}$$

где  $y_i - i$ -е наблюдение из N наблюдений (N-объем выборки),  $x_i = (x_{i1}, x_{i2}, \dots, x_{in})$  регрессоры,  $\{\beta_k, k = \overline{0, n}\}$ - параметры регрессии, а  $\epsilon_i$  - случайная ошибка i-го эксперемента, распределение которой подчиняется нормальному закону с нулевым ожиданием и дисперсией  $\sigma^2$ .

В нашей задаче считаем параметры  $\{\beta_k, k=\overline{0,n}\}$  неизвестными, их нам и требуется найти.

Но мы будем рассматривать не линейную регрессию, заданную формулами (1)-(2), а линейную регрессию с аномальными наблюдениями вида:

$$y_i^{\widetilde{\epsilon}} = (\xi_i)y_i + (1 - \xi_i)\eta_i, \tag{3}$$

где  $\xi_i$  принимает значение, равное 1, с вероятностью  $1-\widetilde{\epsilon}$  и значение, равное 0, с вероятностью  $\widetilde{\epsilon}$ , т.е.:

$$\begin{cases} p(\xi_i = 0) = \widetilde{\epsilon} \\ p(\xi_i = 1) = 1 - \widetilde{\epsilon} \end{cases} , \tag{4}$$

которая называется функцией линейной регрессии с выбросами.  $\eta_i$ -случайная величина из какого-то другого неизвестного нам распределения. Переменную  $\tilde{\epsilon}$  будем называть процентом аномальных наблюдений.

Теперь рассмотрим некоторые методы оценки параметров регрессии:

### 2.1 Метод Наименьших Квадратов

Предлоположим, что случайные ошибки подчиняются нормальному закону распределения вероятностей:

$$L\{\epsilon_i\} = N_1(0, \sigma^2), i = \overline{1, n}$$

$$\tag{5}$$

Строим логарифмическую функцию правдоподобия. В силу (1) и (2) имеем:

$$L\{y_i\} = N_1(f(x_i; \beta), \sigma^2) \tag{6}$$

Логарифмическая функция правдоподобия выглядит так[2]:

$$l(\beta) = \ln \prod_{i=1}^{n} \left( \frac{1}{\sqrt{2\pi}\sigma} e^{-\frac{(y_i - f(x_i;\beta))^2}{2\sigma^2}} \right) = -\frac{1}{2} n \ln 2\pi \sigma^2 - \frac{1}{2\sigma^2} R^2(\beta), \tag{7}$$

$$R^{2}(\beta) = \sum_{i=1}^{n} (\delta y_{i})^{2} = \sum_{i=1}^{n} (y_{i} - f(x_{i}, \beta))^{2} \ge 0$$
 (8)

Тогда оценка максимального правдоподобия из формул (4)-(5) такова:

$$\hat{\beta} = \arg\min_{\beta} R^2(\beta) \tag{9}$$

#### 2.2 М-оценки

Швейцарский статистик П.Хьюбер преложил использовать М-оценки [2], которые являются решениями экстремальных задач вида:

$$\sum_{i=1}^{n} \phi(x_i; \beta) \to \min_{\beta}, \tag{10}$$

где  $\phi(\cdot;\beta)$ -некоторая функция, определяющая конкретный тип оценок и их точность. Очевидно, что  $\phi(\cdot;\beta) \equiv -\ln p(\cdot;\beta)$ -обычная оценка максимального правдоподобия, построенная по модели без выбросов (1).

Рассмотрим теперь некоторые способы выбора  $\phi(\cdot; \beta)$ .

### 2.2.1 Способы выбора функции для решения экстремальной задачи в Моценках

Для начала определим:

$$u_{i} = y_{i}^{\tilde{\epsilon}} - (\beta_{0} + \beta_{1}x_{i1} + \beta_{2}x_{i2} + \dots + \beta_{n}x_{in})$$
(11)

Тогда существует такие методы[3]:

| Способы выбора $\phi(\cdot;\beta)$ |  |  |  |  |  |
|------------------------------------|--|--|--|--|--|
| Метод                              | Целевая функция  |  |  |  |  |
| Метод                              | $\phi(\cdot;\beta)_{OLS} = u^2$  |  |  |  |  |
| Наименьших                         |  |  |  |  |  |
| Квадратов                          |  |  |  |  |  |
| Хьюбера                            | $\phi(\cdot;\beta)_H = \begin{cases} \frac{1}{2}u^2,  u  \le k, \\ k u  - \frac{1}{2}k^2,  u  > k \end{cases}$   |  |  |  |  |
| Биквадратный                       | $\phi(\cdot;\beta)_{H} = \begin{cases} \frac{1}{2}u^{2},  u  \leq k, \\ k u  - \frac{1}{2}k^{2},  u  > k \end{cases}$ $\phi(\cdot;\beta)_{B} = \begin{cases} \frac{k^{2}}{6}(1 - [1 - (\frac{u}{k})^{2}]^{3}),  u  \leq k \\ \frac{k^{2}}{6},  u  > k \end{cases}$ |  |  |  |  |

# 3 Моделирование функции регрессии с аномальными наблюдениями

Для начала смоделируем функцию регрессии по методу (3). Для удобства моделируем регрессию с одномерными регрессорами  $x_i, i=\overline{1,N}.$  Воспользуемся такими параметрами:

| Параметры программы                     |                    |  |  |
|---|--------------------|--|--|
| Переменная                              | значение           |  |  |
| Pазмер выборки $N$                      | 1000               |  |  |
| Процент выбросов $\widetilde{\epsilon}$ | 10                 |  |  |
| Параметры регрессии $\beta$             | (100,4)            |  |  |
| Регрессоры $x_i$                        | $\sim U(-5,5)$     |  |  |
| $\epsilon_i$                            | $\sim N(0, 16)$    |  |  |
| $\eta_i$                                | $\sim N(100, 100)$ |  |  |

U(-5,5) - равномерное распределение на отрезке [-5,5]. Получаем такой график:

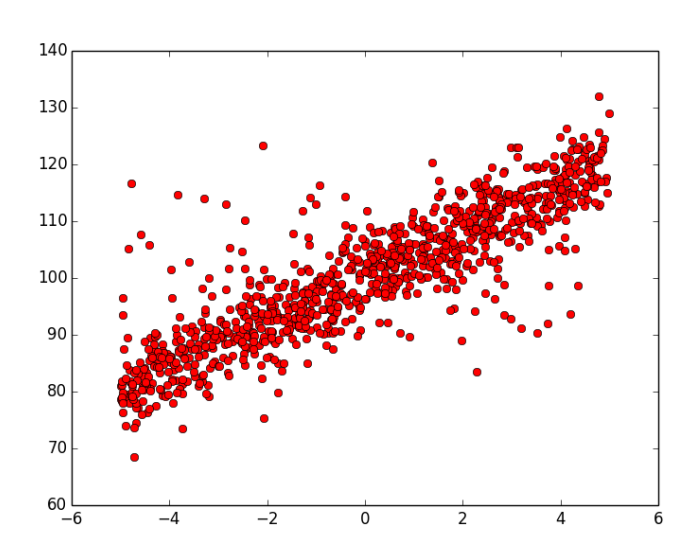


Рис. 1: Вывод графика рассеяния  $(y_i, x_i)$ 

### 4 Поиск breakdown point у МНК и М-оценок

Будем пользоваться той же моделью, как и в пункте 3. Для поиска того процента загрязнений, при котором увеличение количества элементов выборки не повышает точности метода будем делать так:

- Организуем цикл по процентам загрязнений  $\widetilde{\epsilon}_i$  от  $\widetilde{\epsilon}_0=0$  до  $\widetilde{\epsilon}_{100}=100$ , увеличивая каждый раз  $\widetilde{\epsilon}_i$  на 1
- На каждой итерации будем 20 раз моделировать выборку с  $N_1 = 1000$  и  $N_2 = 3000$  наблюдений. На каждой такой итерации суммируем невязку с точными значениями параметров для каждого количества элементов, а потом находим среднее, поделив на количество суммирования, т.е. посчитаем усредненную невязку:

$$\widetilde{\delta_1^{\widetilde{\epsilon}_i}} = \frac{1}{20} \sum_{k=1}^{20} \left( \sum_{i=0}^n (\beta_i - \beta_{N_1 k i})^2 \right)^{\frac{1}{2}}$$
 (12)

$$\widetilde{\delta_2^{\widetilde{\epsilon}_i}} = \frac{1}{20} \sum_{k=1}^{20} \left( \sum_{i=0}^{n} (\beta_i - \beta_{N_2 k i})^2 \right)^{\frac{1}{2}}$$
(13)

• если полученная усредненная невязка при 1000 наблюдений меньше либо равна невязке при 3000 наблюдений, то заканчиваем цикл - нашли breakdown point, т.е.:

$$br = \left\{ \widetilde{\epsilon_i}, \text{если } \widetilde{\delta_1^{\widetilde{\epsilon_i}}} < \widetilde{\delta_2^{\widetilde{\epsilon_i}}} \right.$$
 (14)

ullet иначе повышаем процент на 1 и повторяем цикл:  $\widetilde{\epsilon_{i+1}} = \widetilde{\epsilon_i} + 1$ 

Такие тесты проведем для МНК и М-оценок.

### 4.1 Результаты программы

| Найденные breakdown point для МНК и М-оценок |            |  |
|--|------------|--|
| Метод  | breakpoint |  |
| MHK  | 10%        |  |
| М-оценка с функцией Хьюбера                  | 17%        |  |

Итак, видим, что М-оценки значительно устойчивее к выбросам чем МНК.

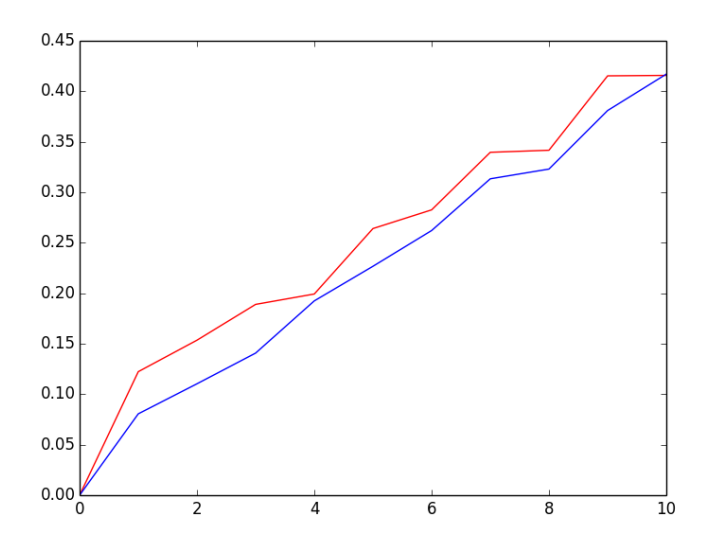


Рис. 2: График, на котором изображены  $\widetilde{\delta_1^{\widetilde{\epsilon}_i}}$  красным и  $\widetilde{\delta_2^{\widetilde{\epsilon}_i}}$ синим относительно  $\widetilde{\epsilon_i}$  в случае МНК

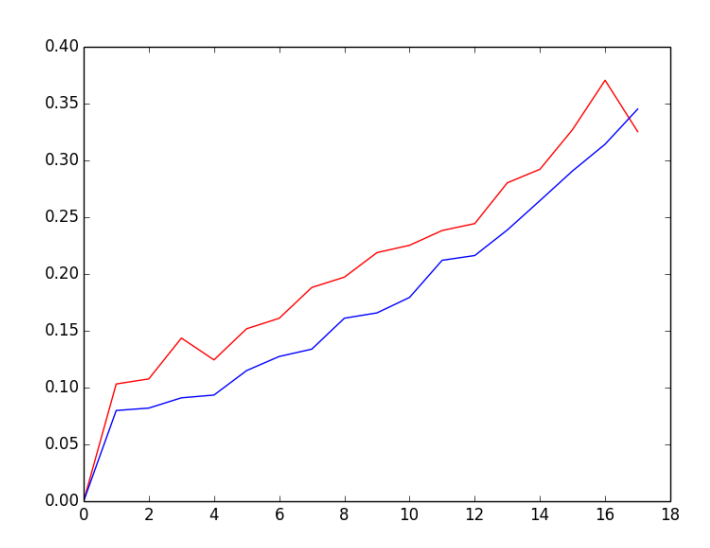


Рис. 3: График, на котором изображены  $\widetilde{\delta_1^{\widetilde{\epsilon}_i}}$  красным и  $\widetilde{\delta_2^{\widetilde{\epsilon}_i}}$ синим относительно  $\widetilde{\epsilon_i}$  в случае М-оценок

#### Замечания:

- Мы могли бы моделировать не 20 раз, а значительно больше, тем самым мы уменьшаем зависимость результата работы метода он моделируемой выборки.
- Аналогично можно заключить и для размера выборок (отношение моделируемых количеств можно значительно увеличить)

### 5 Построение оценки параметров регресии с помощью группирования выборки

Будем работать с моделью регрессии (3), предполагая что имеем регрессию без выбросов (1). Каждый  $y_i$  принадлежит нормальному распределению:

$$y_i = f(x_i, \beta) + \varepsilon_i \sim \mathcal{N}(f(x_i, \beta), \sigma^2)$$
(15)

Будем строить оценки таким образом: разделим множество значений функции регресси, т.е множество  $\mathcal{R}$  на k полуинтервалов:

$$\mathcal{R} = (-\infty, a_1]U(a_1, a_2]U \dots U(a_{k-1}, +\infty)$$
(16)

Обозначим полученные интервалы:  $\nu_0, \dots, \nu_{k-1}$ .

Тогда:

$$P\{y_{i} \in \nu_{j}\} = \begin{cases} \frac{1}{2} \left( \operatorname{erf}\left(\frac{a_{j+1} - f(x_{i}, \beta)}{\sqrt{2}\sigma^{2}}\right) - \operatorname{erf}\left(\frac{a_{j} - f(x_{i}, \beta)}{\sqrt{2}\sigma^{2}}\right) \right), & j = \overline{1, k - 2} \\ \frac{1}{2} \left(1 + \operatorname{erf}\left(\frac{a_{1} - f(x_{i}, \beta)}{\sqrt{2}\sigma^{2}}\right) \right), & j = 0 \\ \frac{1}{2} \left(1 + \operatorname{erf}\left(\frac{a_{k-1} - f(x_{i}, \beta)}{\sqrt{2}\sigma^{2}}\right) \right), & j = k - 1 \end{cases}$$

$$(17)$$

, где

$$\operatorname{erf}(x) = \frac{2}{\sqrt{\pi}} \int_0^x e^{-t^2}$$
 (18)

Все наблюдения  $y_i$  отнесем к классам  $\{\nu_i\}_{i=0}^{k-1}$  с помощью метода k-средних. Тогда для каждого  $y_i$  будем иметь класс  $\mu_i$ .

$$\mu_i = j,$$
если  $y_i$  отнесли к полуинтервалу  $\nu_j$  (19)

Понятно, что:

$$P(\mu_i = j | y_i \in \nu_j) = P(y_i \in \nu_{\mu_i})$$
 (20)

### 5.1 Построение функции правдоподобия

Составим функцию правдоподобия:

$$L(\beta, \sigma^2, \nu_0, \dots, \nu_{k-1}) = \ln(\prod_{i=1}^n P(\mu_i = j | y_i \in \nu_j)) =$$
(21)

$$= \sum_{i=1}^{n} \ln(P(\mu_i = j | y_i \in \nu_j))$$
 (22)

Известно приближение для функции  $\operatorname{erf}(x)$ :

$$(\operatorname{erf} x)^2 \approx 1 - \exp(-x^2 \frac{\frac{4}{\pi} + ax^2}{1 + ax^2}),$$
 (23)

$$a = \frac{8}{3\pi} \frac{3-\pi}{\pi - 4} \tag{24}$$

Оно считается достаточно точным для x близких к 0 и к  $\infty$  [7]. Найдем сразу производную для этого приближения:

$$\operatorname{erf}'(x) = \exp(-x^2 \frac{\frac{4}{\pi} + ax^2}{1 + ax^2}) \frac{-2x \frac{\frac{4}{\pi} + ax^2}{1 + ax^2} + (2ax^3) \frac{\frac{4}{\pi} + ax^2}{1 + ax^2} - \frac{2ax^3}{1 + ax^2}}{2\sqrt{1 - \exp(-x^2 \frac{\frac{4}{\pi} + ax^2}{1 + ax^2})}}$$
(25)

Будем максимизировать функцию L. Для этого будем искать нули ее производной с помощью вычислительных методов(будем использовать метод дихотомии).

$$\frac{\delta L}{\delta \beta} = \frac{\delta \sum_{i=1}^{n} \ln(P(\mu_i = j | y_i \in \nu_j))}{\delta \beta} = \frac{\delta \sum_{i=1}^{n} \ln P(y_i \in \nu_{\mu_i})}{\delta \beta} =$$
(26)

$$= \frac{\delta \sum_{i=1}^{n} \ln(\frac{1}{2} (\operatorname{erf}(\frac{a_{\mu_i+1} - f(x_i,\beta)}{\sqrt{2}\sigma^2}) - \operatorname{erf}(\frac{a_{\mu_i} - f(x_i,\beta)}{\sqrt{2}\sigma^2})))}{\delta \beta} =$$
(27)

$$= \sum_{i=1}^{n} \frac{\left(\operatorname{erf}'\left(\frac{a_{\mu_{i}+1}-f(x_{i},\beta)}{\sqrt{2}\sigma^{2}}\right) - \operatorname{erf}'\left(\frac{a_{\mu_{i}}-f(x_{i},\beta)}{\sqrt{2}\sigma^{2}}\right)\right)}{\left(\operatorname{erf}\left(\frac{a_{\mu_{i}+1}-f(x_{i},\beta)}{\sqrt{2}\sigma^{2}}\right) - \operatorname{erf}\left(\frac{a_{\mu_{i}}-f(x_{i},\beta)}{\sqrt{2}\sigma^{2}}\right)\right)} (-1) \frac{\delta f(x_{i},\beta)}{\delta \beta}) =$$

$$(28)$$

$$= -\sum_{i=1}^{n} \begin{pmatrix} 1 \\ x_{i1} \\ \cdots \\ x_{in} \end{pmatrix}^{T} \times \frac{\left(\operatorname{erf}'\left(\frac{a_{\mu_{i}+1}-f(x_{i},\beta)}{\sqrt{2}\sigma^{2}}\right) - \operatorname{erf}'\left(\frac{a_{\mu_{i}}-f(x_{i},\beta)}{\sqrt{2}\sigma^{2}}\right)\right)}{\left(\operatorname{erf}\left(\frac{a_{\mu_{i}+1}-f(x_{i},\beta)}{\sqrt{2}\sigma^{2}}\right) - \operatorname{erf}\left(\frac{a_{\mu_{i}}-f(x_{i},\beta)}{\sqrt{2}\sigma^{2}}\right)\right)}$$
(29)

Итак, уравнение (29) и будем использовать для метода дихотомии, приближая  $\operatorname{erf}'(x)$  с помощью выражения (25).

### 5.2 Метод дихотомии

пусть мы нашли две точки  $\beta_{(0)}$  и  $\beta_{(1)}$ , что:

$$\frac{\delta L(\beta_{(0)})}{\delta \beta} \frac{\delta L(\beta_{(1)})}{\delta \beta} < 0 \tag{30}$$

Найдем середину отрезка:

$$\beta_{(3)} = \frac{\beta_{(0)} + \beta_{(1)}}{2} \tag{31}$$

Из двух границ текущего отрезка выберем ту, для которой выполняется:

$$\frac{\delta L(\beta_{(3)})}{\delta \beta} \frac{\delta L(\beta_{(\text{гран})})}{\delta \beta} < 0 \tag{32}$$

Далее таким же образом будет находить следующие приближения  $\beta_{(3)}, \ldots, \beta_{(k)}$  Будем искать корень  $\beta_k$  с точностью  $\psi$ . Тогда описанную процедуру будем выполнять до тех пор, пока:

$$\beta_k - \beta_{k-1} \le 2\psi \tag{33}$$

Описанный метод всегда сходится для любых функций, в том числе недифференцируемых; при этом дихотомия устойчива к ошибкам округления. Скорость сходимости невелика, но точность ответа гарантируется.[8]. Правда, теперь нужно точно задать, в каком отрезке лежат корни  $\beta_{(k)} \in [a,b]$ . В таком случае зададим:

$$\beta_{(0)} = a,$$
$$\beta_{(1)} = b$$

### Список литературы

- [1] Хьюбер Дж П., Робастность в статистике:пер. с англ.. М.:Мир,1984-304с
- [2] Харин Ю.С., Зуев Н.М., Жук Е.Е, Теория вероятностей, математическая и прикладная статистика: учебник Минск: БГУ, 2011.-463с
- [3] John Fox & Sanford Weisberg, Robust Regression, October 8, 2013
- [4] А.В. Омельченко, *Робастное оценивание параметров полиномиальной регрессии второго порядка*, Харьковский национальный университет радиоэлектроники, Украина, 2009
- [5] Özlem Gürünlü Alma, Comparison of Robust Regression Methods in Linear Regression, Int. J. Contemp. Math. Sciences, Vol. 6, 2011, no. 9, 409 421
- [6] Ozlem Gürünlü Alma, Comparison of Robust Regression Methods in Linear Regression, Int. J. Contemp. Math. Sciences, Vol. 6, 2011, no. 9, 409 421
- [7] Sergei Winitzki, A handy approximation for the error function and its inverse
- [8] Мандрик П.А., Репников В.И., Фалейчик Б.В., Численные методы